

(367)

## 福山第2熱延・板クラウンモデルの開発 (福山第2熱延におけるプロファイル制御 第1報)

日本钢管㈱ 福山製鉄所

鍬本 紘 谷口 勲 山崎喜政

○寺内琢磨 村上史敏 栗原 健

鉄鋼研究所

升田貞和 有泉 孝

## 1. 緒言

当所熱延工場では、板クラウン低減をはじめとする品質向上を目的として昭和60年2月に仕上圧延機を改造し、現在順調に稼働している。本報では、福山第2熱延ミルの板クラウンモデルについてその概要を報告する。

## 2. 板クラウンモデル

4段ロール弾性変形モデル<sup>1)</sup>より求めた簡易基本モデルを式[1]に示す。

$$CRi = \alpha i \cdot CRi^* + (1 - \alpha i) \cdot (hi/h_{i-1}) \cdot CRi_{i-1} \dots \dots \dots [1]$$

ここで、 $CRi$ は*i* STD出側板クラウン、 $\alpha i$ は張力フィードバック効果パラメータ、 $CRi^*$ は張力フィードバック効果を無視した板クラウンである。本モデルでは、 $CRi^*$ として、通常の圧延条件のほか、BUR摩耗も考慮した。

## 1) WRプロファイル(ヒートクラウン、摩耗モデル)

ヒートクラウンはプロコン計算機負荷を考慮し、バレル方向20mmピッチ、半径方向を2層に分けた簡易モデルを開発し、実用上十分な精度を得ている。(Fig 1)

WR摩耗モデルは、荷重、接触弧長などの評価のほか、鋼種別の係数を考慮し、高精度の摩耗予測が可能となっている。(Fig 2)

## 2) BURプロファイル

BUR形状(チャンファー、クラウン)のほかに、BUR摩耗の板クラウンに与える影響は大きい。(Table 1)特にその影響は圧延材の幅により複雑に変化し、クラウン予測の大きな障害となっていた。よって筆者らはインラインでのBUR摩耗測定データを板クラウンモデルに反映させていている。

## 3. 板クラウンモデルの精度

上記板クラウンモデルの精度を、実績クラウンとの比較によってFig 3に示す。1スケジュールを通して、実績クラウンと計算クラウンは精度よく一致している。

## 4. 結言

当板クラウンモデルを実機に適用した結果、実用上十分な精度が得られた。

参考文献 1)藤田ら:鉄と鋼 63'77-A 119

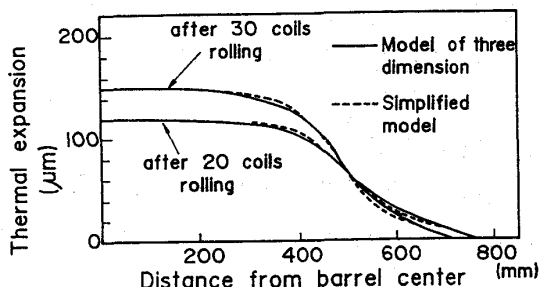


Fig. 1 Thermal expansion of work roll.

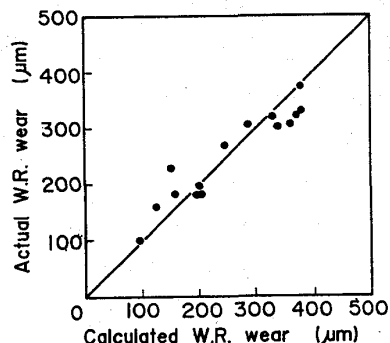


Fig. 2 Work roll wear (F5).

Table I. Influence of B.U.R. wear.

Reduction	Width (mm)	Consideration of B.U.R. wear	Calculated crown [ $\frac{1}{6}-\frac{1}{5}$ ] (%)
13.80-13.29	900	X	[5, 10, 15]
		O	[5, 10, 15]
	1500	X	[10, 15, 20]
		O	[10, 15, 20]

LOAD : P = 1 Ton/mm x Width T  
Work roll crown : 0  
Bending force : 0 Ton/Chock

B.U.R. wear

B/A = 0.558  
C = 200 μm

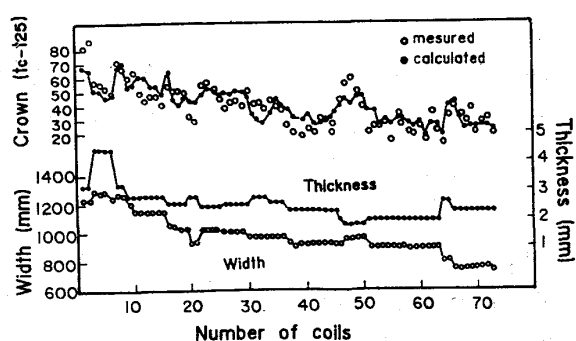


Fig. 3 Comparison of measured crown and calculated crown.